



Fialko N., Zhuravska N., Kulikov P., Titlov A., Glamazdin P. et al.

ERBE DER EUROPÄISCHEN WISSENSCHAFT UMWELTSCHUTZ

HERITAGE OF EUROPEAN SCIENCE
ENVIRONMENTAL PROTECTION

Monographic series «European Science»

Book 2. Part 1.

In internationalen wissenschaftlich-geometrischen Datenbanken enthalten Included in International scientometric databases

MONOGRAPHIE
MONOGRAPH

Authors:

Aleshko S. (8, 12), Altman E. (1), Balina E. (2), Bezklubenko I. (2), Bilenko N. (15), Bordiuh V. (13), Boshkov L. (1), Boshkova I. (1), Butsenko Y. (2), Chernykh L. (8), Doroshenko V. (15), Dotsenko S. (4), Fialko N. (4, 8, 12), Galinska T. (5), Georgiesh E. (15), Getun G. (2), Glamazdin D. (3), Glamazdin P. (3), Ilina T. (6), Kachmar N. (9), Klyuyeva V. (4), Klymchuk M. (6), Kulikov P. (4, 8, 14), Kutnyak O. (12), Kyslyuk D. (11), Maletskaya O. (12), Mazurak O. (9), Meranova N. (4, 8, 12), Pereginets I. (10), Polozenko N. (4, 8, 12), Prokopov V. (8, 12), Rokitko K. (12), Sahala T. (15), Savenko V. (4, 8, 11), Sherenkovsky J. (12), Titlov A. (1, 15), Tsyfra T. (13), Vasyliv O. (15), Vershigora D. (13), Volgusheva N. (1), Vysotska L. (11), Wildman I. (14), Zelisko O. (9), Zhuravska N. (14), Zhuravskiy O. (11), Zygun A. (5), Krukouska T. (7)

Reviewers:

Ploskyy V.O. - Doctor of Technical Sciences. Trokhymenko H.H. - Doctor of Technical Sciences. Prokopov V.H. - Doctor of Technical Sciences.

Erbe der europäischen wissenschaft: Umweltschutz. Monografische Reihe «Europäische Wissenschaft». Buch 2. Teil 1. 2020.

Heritage of european **science:** Environmental Monographic series «European Science». Book 2. Part 1. 2020.

> ISBN 978-3-9821783-3-2 DOI: 10.21893/978-3-9821783-3-2.2020-02-01

Published by:

ScientificWorld-NetAkhatAV Lußstr. 13 76227 Karlsruhe, Germany in conjunction with Institute «SEQE»

e-mail: orgcom@sworld.education

site: www.sworld.education

Copyright © Authors, 2020 Copyright © Drawing up & Design. ScientificWorld-NetAkhatAV, 2020



Inhalt/Content

CHAPTER 1. INVESTIGATIONS OF INFLUENCE EFFECTS OF	
MICROWAVE FIELD ON PLANT TISSUE	
ИЗУЧЕНИЕ ЭФФЕКТОВ ВОЗДЕЙСТВИЯ МИКРОВОЛНОВОГО ПОЛЯ НА	
РАСТИТЕЛЬНУЮ ТКАНЬ	9
CHAPTER 2. ASPECTS OF DESIGN OF ENCLOSURE STRUCTURES OF	7
ENERGY EFFICIENT BUILDINGS IN UKRAINE	
АСПЕКТЫ ПРОЕКТИРОВАНИЯ ОГРАЖДАЮЩИХ КОНСТРУКЦИЙ	
ЭНЕРГОЭФФЕКТИВНЫХ ЗДАНИЙ В УКРАИНЕ	26
CHAPTER 3. MODERNIZATION OF WATER-HEATING WATER-TUBE	
BOILERS OF HEATING BOILER SYSTEMS DISTRICT	
HEATING TO IMPROVE THEIR ENVIRONMENTAL	
CHARACTERISTICS	
МОДЕРНИЗАЦИЯ ВОДОГРЕЙНЫХ ВОДОТРУБНЫХ КОТЛОВ ОТОПИТЕЛЬНЫХ	
КОТЕЛЕН СИСТЕМАМИ ЦЕНТРАЛИЗОВАННОГО ТЕПЛОСНАБЖЕНИЯ ДЛЯ	4.4
ПОВЫШЕНИЯ ИХ ЭКОЛОГИЧЕСКИХ ХАРАКТЕРИСТИК	44
CHAPTER 4. ECO-ENERGY EFFICIENCY AND ENERGY MANAGEME	NT
BASED ON THE USE OF INFORMATION TECHNOLOGY	
ЭКОЭНЕРГОЭФФЕКТИВНОСТЬ И ЭНЕРГОМЕНЕДЖМЕНТ НА ОСНОВЕ	<i>6</i> 0
ПРИМЕНЕНИЯ ИНФОРМАЦИОННЫХ ТЕХНОЛОГИЙ	60
CHAPTER 5. ENVIRONMENTAL AND ECONOMIC ASPECTS OF THE	
FORMATION OF SOLID WASTE MANAGEMENT	
ЭКОЛОГИЧЕСКИЕ И ЭКОНОМИЧЕСКИЕ АСПЕКТЫ ФОРМИРОВАНИЯ СФЕРЫ	00
ОБРАЩЕНИЯ С ТВЕРДЫМИ БЫТОВЫМИ ОТХОДАМИ	90
CHAPTER 6. SCIENTIFIC-APPLIED PRINCIPLES OF RISK	
MANAGEMENT IN ENTERPRISES: POSTULATES, TRENDS, MODIFICATION	
НАУЧНО-ПРИКЛАДНЫЕ ОСНОВЫ УПРАВЛЕНИЯ РИСКАМИ НА	
ПРЕДПРИЯТИЯХ: ПОСТУЛАТЫ, ТРЕНДЫ, МОДИФИКАЦИЯ	103
	103
CHAPTER 7. NEW APPROACHES TO EVALUATING OF TOXIC AND	
CONDITIONALLY TOXIC CHEMICAL ELEMENTS	
EXPOSITION TO POPULATION IN MODERN CONDITIONS	OF
TECHNOGENICALLY CHANGED BIOGEOCHEMICAL	
CHARACTERISTICS OF THE HABITAT	
НОВЫЕ ПОДХОДЫ К ОЦЕНКЕ ЭКСПОЗИЦИИ ТОКСИЧНЫХ И УСЛОВНО	
ТОКСИЧНЫХ ХИМИЧЕСКИХ ЭЛЕМЕНТОВ НА НАСЕЛЕНИЕ В СОВРЕМЕННЫХ	
УСЛОВИЯХ ТЕХНОГЕННО ИЗМЕНЕННЫХ БИОГЕОХИМИЧЕСКИХ	110
ХАРАКТЕРИСТИК СРЕДЫ ОБИТАНИЯ	118



CHAPTER 8. ENERGY-SAVING TYPES OF HEATING FOR CREATING REGULATED AND COMFORTABLE HEAT REGIME OF RESIDENTIAL AND PUBLIC BUILDINGS

ЭНЕРГОСБЕРЕГАЮЩИЕ ВИДЫ ОТОПЛЕНИЯ ДЛЯ СОЗДАНИЯ НОРМИРОВАННОГО И КОМФОРТНОГО ТЕПЛОВОГО РЕЖИМА ЖИЛЫХ И ОБЩЕСТВЕННЫХ ЗДАНИЙ. 131

CHAPTER 9. TREATMENT OF MINING WATER FROM HEAVY METALS:
CHEMICAL AND BIOLOGICAL TECHNOLOGIES
ОЧИЩЕНИЕ ШАХТНЫХ ВОД ОТ ТЯЖЕЛЫХ МЕТАЛЛОВ: ХИМИЧЕСКИЕ И
БИОЛОГИЧЕСКИЕ ТЕХНОЛОГИИ
CHAPTER 10. THEORETICAL AND METHODOLOGICAL BASIS OF
DESIGN OF ZERO ENERGY BUILDINGS (ZEB)
ТЕОРЕТИКО-МЕТОДОЛОГИЧЕСКИЕ ОСНОВЫ ПРОЕКТИРОВАНИЯ ЗДАНИЙ
НУЛЕВОЙ ЭНЕРГИИ (ZEB)
CHAPTER 11. ECOLOGICAL AND ECONOMIC FEASIBILITY OF
PROTECTION AGAINST CORROSION OF METAL
STRUCTURES, MACHINES AND PRODUCTS BY
ENVIRONMENTALLY FRIENDLY PLANT-BASED MEDIA
(CONTRRUST TYPE)
ЭКОЛОГИЧЕСКАЯ И ЭКОНОМИЧЕСКАЯ ЦЕЛЕСООБРАЗНОСТЬ ЗАЩИТЫ ОТ
КОРРОЗИИ МЕТАЛЛИЧЕСКИХ КОНСТРУКЦИЙ, МАШИН И ИЗДЕЛИЙ
ЭКОЛОГИЧЕСКИ ЧИСТЫМИ СРЕДСТВАМИ НА РАСТИТЕЛЬНОЙ ОСНОВЕ (ТИПА
CONTRRUST)
CHAPTER 12. ENERGY-ECOLOGICALLY EFFICIENT MICROJET
BURNER DEVICES OF STABILIZER TYPE
ЭНЕРГОЭКОЛОГОЭФФЕКТИВНЫЕ МИКРОФАКЕЛЬНЫЕ ГОРЕЛОЧНЫЕ
УСТРОЙСТВА СТАБИЛИЗАТОРНОГО ТИПА
CHAPTER 13. ENVIRONMENTAL IMPACT ASSESSMENT IN THE
IMPLEMENTATION OF THE PROJECT OF
RECONSTRUCTION OF THE KYIV ZOO ZOLOGICAL PARK
ОЦЕНКА ВОЗДЕЙСТВИЯ НА ОКРУЖАЮЩУЮ СРЕДУ ПРИ РЕАЛИЗАЦИИ
ПРОЕКТА РЕКОНСТРУКЦИИ КИЕВСКОГО ЗООЛОГИЧЕСКОГО ПАРКА
CHAPTER 14. NATURE PRINCIPLES WHEN USING REAGENT-FREE
WATER TREATMENT
ПРИНЦИПЫ ПРИРОДОПОЛЬЗОВАНИЯ ПРИ ИСПОЛЬЗОВАНИИ БЕЗРЕАГЕНТНОЙ
ПОДГОТОВКИ ВОДЫ



CHAPTER 15. ESTIMATION OF PROSPECTS FOR PRE-COOLING OF NATURAL GAS IN MAIN GAS PIPELINES BEFORE COMPRESSING WITH HEAT-USING ABSORPTION COOLING MACHINES

Deferences	254
ТЕПЛОИСПОЛЬЗУЮЩИХ АБСОРБЦИОННЫХ ХОЛОДИЛЬНЫХ МАШИН	237
МАГИСТРАЛЬНЫХ ГАЗОПРОВОДАХ ПЕРЕД СЖАТИЕМ ПРИ ПОМОЩИ	
ОЦЕНКА ПЕРСПЕКТИВ ПРЕДВАРИТЕЛЬНОГО ОХЛАЖДЕНИЯ ПРИРОДНОГО ГА	3A B



KAPITEL 15 / CHAPTER 15.

ESTIMATION OF PROSPECTS FOR PRE-COOLING OF NATURAL GAS IN MAIN GAS PIPELINES BEFORE COMPRESSING WITH HEAT-USING ABSORPTION COOLING MACHINES

ОЦЕНКА ПЕРСПЕКТИВ ПРЕДВАРИТЕЛЬНОГО ОХЛАЖДЕНИЯ ПРИРОДНОГО ГАЗА В МАГИСТРАЛЬНЫХ ГАЗОПРОВОДАХ ПЕРЕД СЖАТИЕМ ПРИ ПОМОЩИ ТЕПЛОИСПОЛЬЗУЮЩИХ АБСОРБЦИОННЫХ ХОЛОДИЛЬНЫХ МАШИН

DOI: 10.30888/978-3-9821783-0-1.2020-01-01-078

Введение.

Газотранспортная система Украины предназначена для подачи газа как внутренним потребителям, так и для транзита топлива в страны Западной Европы. Для транспортировки природного ПО магистральным газа (KC) трубопроводам компрессорных на станциях установлены агрегаты (ГПА), энергоносителем для которых, газоперекачивающие большинстве случаев, является транспортируемый природный газ. На привод ГПА расходуется (сжигается) 0.5...1.5 % от объема транспортируемого газа [1].

Проведенный анализ путей повышения энергетической эффективности ГПА [2] показал, что одним из перспективных направлений может быть предварительное охлаждение компримируемого газа при помощи теплоиспользующих абсорбционных водоаммиачных холодильных машин (АВХМ), которые утилизируют бросовое тепло отходящих продуктов сгорания [3, 4]. Было показано [2], что для текущей экономической ситуации (июль 2019 года) на рынке газа Украины суточное снижение эксплуатационных затрат в типовых магистральных газопроводах при снижении температуры газа перед сжатием в ГПА на 20 К составляет от 1800 до 3360 \$.

Так как транспортировка газа осуществляется круглогодично в различных климатических (температурных) условиях окружающей среды необходимо провести оценку в изменениях энергетической эффективности цикла ABXM.

Особый интерес представляют также и пониженные температуры объекта охлаждения, которые позволяют повысить полезный эффект предварительного охлаждения природного газа перед сжатием [2].

Основная часть.

В качестве входных параметров примем данные, используемые на кафедре ТТТЭ для расчета магистрального трубопровода.

На рис.1 представлена условная схема магистрального газопровода с



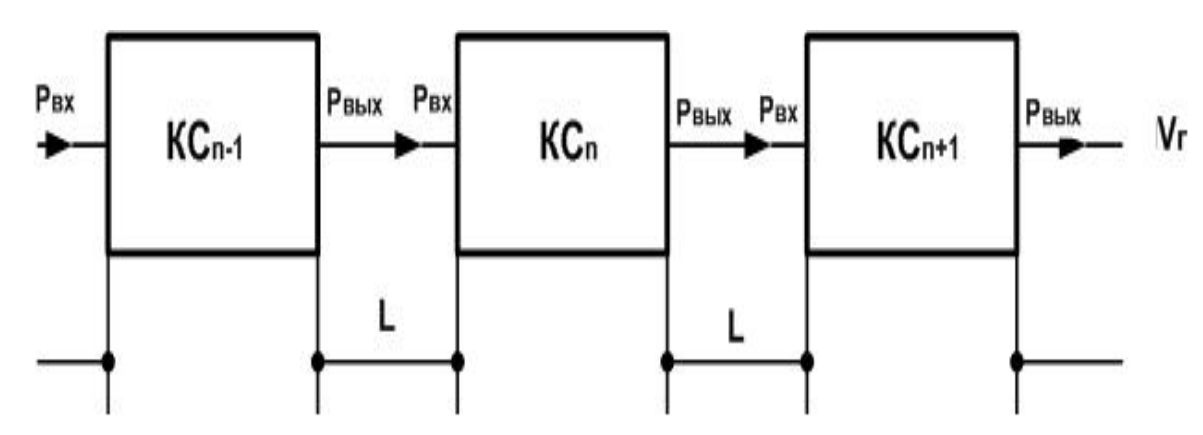
промежуточными компрессорными станциями, которая облегчает понимание.

Диаметр магистрального трубопровода – 1200 мм;

Привод нагнетателя – газотурбинный двигатель типа ДН–70 [19];

Номинальная мощность на валу ГТД – 10 МВт;

Количество параллельно работающих нагнетателей -3+1 (один в резерве);



КС – промежуточные компрессорные станции

Рис. 1. Условная схема магистрального газопровода

Давление газа на выходе из КС после ABO – P_{Haz} = 7,4 МПа;

Давление газа на входе в КС $-P_{ec} = 6.0 \text{ M}$ Па;

Расстояние между КС – 120 км;

Температура грунта — T_{zp} = 14 °C = 287 K;

Расчётная температура окружающего воздуха летом $-T_o = 25$ °C = 298 K;

Коммерческий расход газа при его температуре – Q_{KC} = 52, 07 млн.м 3 /сутки;

Расход топливного газа одного ДН-70 при номинальном режиме – 2098 кг/ч;

Нагнетатель (компрессор) природного газа типа H-300-1,23 с характеристиками, которые приведены на рис. 2.

Плотность природного газа при нормальных условиях (0 °C и 0,1013 МПа) – ρ_{cm} = 0,719 кг/м³;

Псевдокритическая температура — T_{HK} = 192,7 К;

Псевдокритическое давление — P_{IIK} =4,73 МПа;

Индивидуальная газовая постоянная — R = 516,2 Дж/(кг-K).



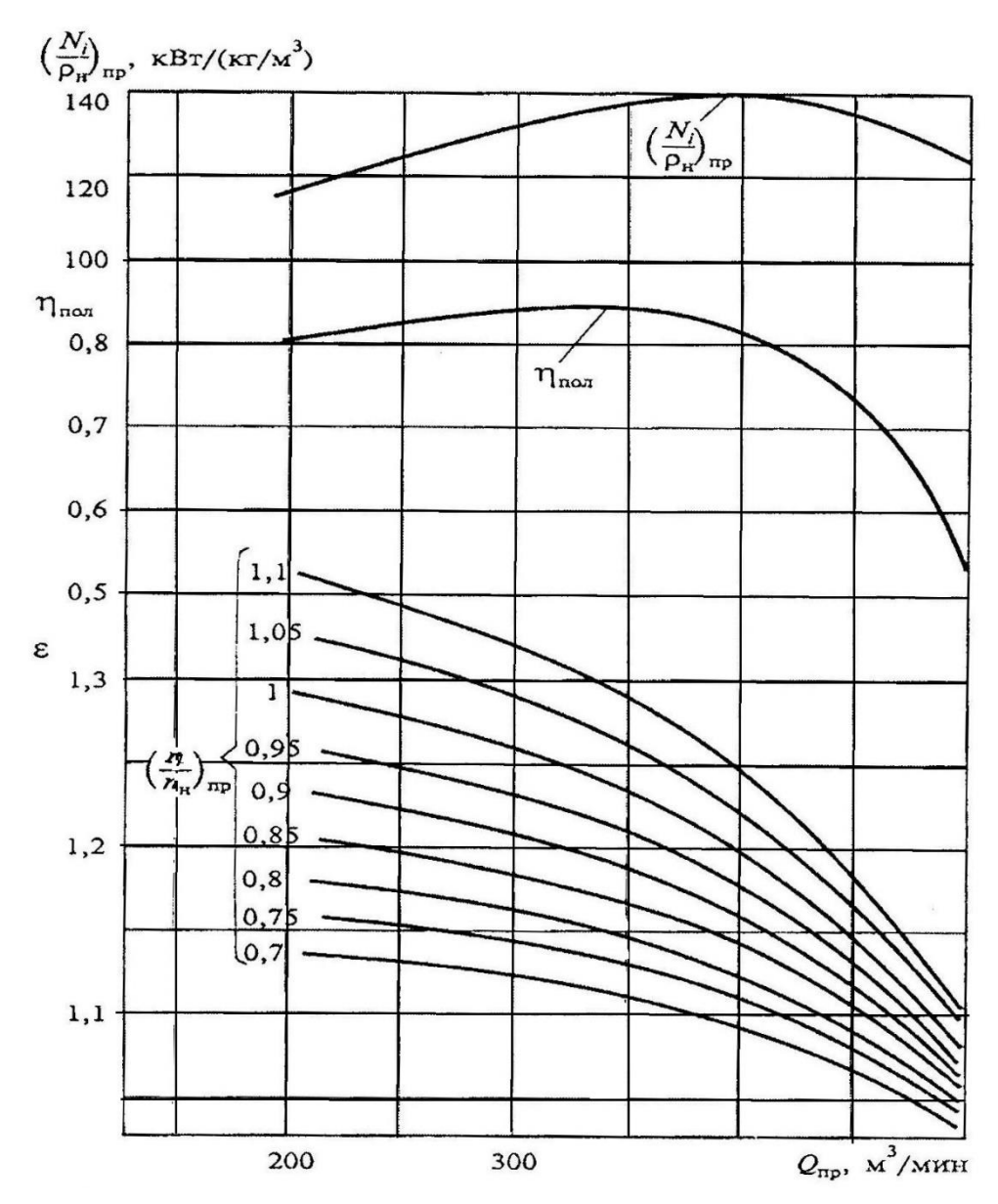


Рис. 2. Приведенные характеристики нагнетателя H-300-1,23 при $T_{np}=288~K;~Z_{np}=0.91;~R_{np}=490~Дж/(кг·К)$

	Справочные характеристики газотурбинного двигателя ДН-70:								
	Номинальная мощность на валу свободной турбины10500 кВт							кВт	
	Степень	повышения	пол	ного	да	вления в	оздуха	В	осевом
комг	ірессоре						19,5		
	Расход про	дуктов сгоран	ия на	выхло	пе		3	6,8	кг/с
	Расчётная	температура	газа	на ср	езе	выхлопного	патрубка	i B	летний
пери	юд								.550 °C
	Расчётная	температура	газа	на ср	езе	выхлопного	патрубка	. В	зимний
пери	юд 430° (\mathbb{C}							



Номинальная частота вращения ротора турбины......3000, 3600, 4800, 6500 об/мин Ресурс газогенератора до капитального ремонта......25000 ч Pecypc силовой турбины модуля до капитального Полный ресурс ГТД......100000 ч Масса блока ГТД......18500 кг Схема нагнетателя Н-300-1,23 приведены на рис. 3.

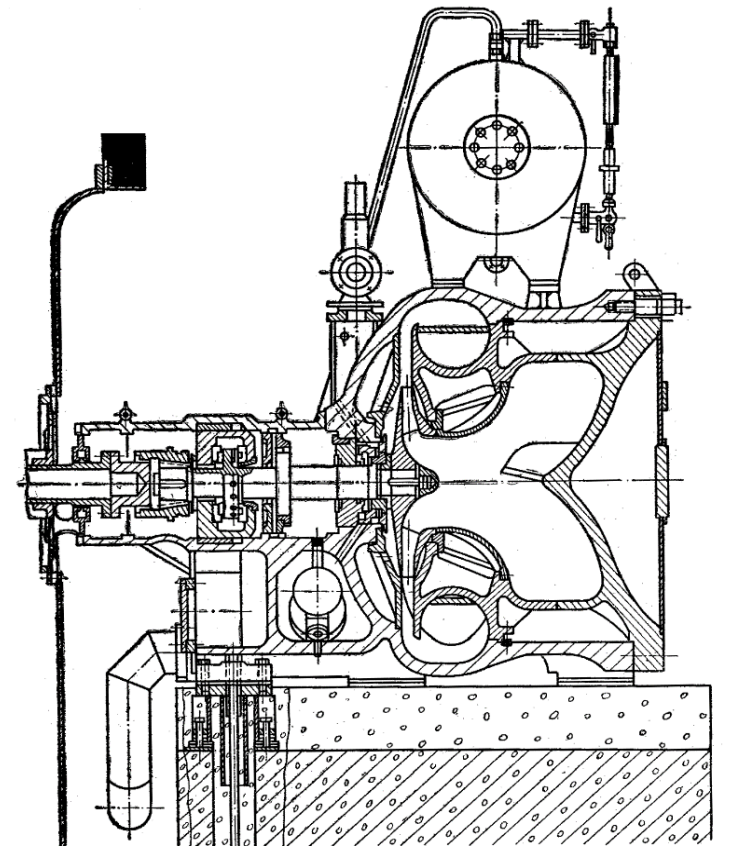


Рис. 3. Схема нагнетателя *H*-300-1,23

Расчет проводим для 4-х уровней температур газа на всасывании: $T_{\rm gc} = 275;\ 285;\ 292,5;\ 300\ {\rm K}.$

Полагаем, что давления всасывания и нагнетания остаются неизменными во всем диапазоне расчетных температур всасывания, т.е.:



$$P_{IIP} = \frac{6.0}{4.73} = 1,268$$

и степень сжатия газа:

$$\varepsilon = \frac{7.4}{6.0} = 1.23.$$

Результаты расчетов сводим в таблицу 1.

Для нагнетателя H-300-1,23 номинальный расход $Q_H = 19,0$ млн. м³/сут, тогда число нагнетателей:

$$m_H = \frac{Q_{KC}}{Q_H} = \frac{52,07}{19,0} = 2,7 \approx 3 \text{ IIIT.}$$

Объемный расход газа на всасывании также во всех случаях одинаков:

$$Q_{6c} = 181 \text{ m}^3/\text{мин}.$$

Номинальная частота вращения ротора нагнетателя:

$$n_H = 6150 \text{ об/мин.}$$

Результаты расчетов приведены и в виде графических зависимостей на рис. 4 и рис. 5.

Из справочных характеристик газотурбинного двигателя ДН-70 следует, что в номинальном режиме на 1 кВт мощности на валу турбины приходится 0,2 кг/ч топливного газа.

Не имея сведений о расходе топливного газа в отличных от номинального режима условиях, примем его постоянным.

Тогда зависимость расхода топливного газа от температуры всасывания качественно будет иметь вид аналогичный рис. 2.3,

т.е. при
$$T_{ec} = 275$$
; 285; 292,5;

 $300~\rm{K}$ расход топливного газа будет соответственно составлять: 747; 757; 836; 940 кг/ч.

Будем считать уровень температур на всасывании 285 К (12 °C) реально достижимым при помощи ABXM с достаточно высоким температурным напором между потоками газа и рассола.

Примем за базовый режим:

$$T_{ec} = 292,5 \,\mathrm{K} \,(19,5 \,^{\circ}\mathrm{C}),$$

при которой нагнетатель работает продолжительное время в году.

Таблица 1

Результаты расчет рабочих параметров нагнетателя газа

Наименование параметра/	Температура на всасывание $T_{\epsilon c}$, К				
характеристики	275	285	292,5	300	
Приведенная температура, T_{np}	1,427	1,479	1,518	1,557	
Коэффициент сжимаемости, Z_{sc}	0,862	0,881	0,893	0,903	
Комплекс т	0,222	0,256	0,295	0,316	
Плотность газа на всасывании $ \rho_{\text{ec}} ,$ $$ $$ $$ $$ $$ $$ $$ $$ $$ $$	52,60	49,70	47,77	46,05	
Приведенный объемный расход газа на всасывании Q_{np} , м 3 /мин	215	210	200	190	
К.п.д. нагнетателя, η_{non} (по рис.2)	0,81	0,81	0,80	0,78	
Комплекс $\left[\frac{N_i}{\rho_H}\right]_{np}$, кВт/(кг/м³)	119	119	118	116	
Фактическая частота вращения ротора нагнетателя n_H , $1/$ мин	5177	5301	5566	5859	
Внутренняя мощность, потребляемая нагнетателем N_i , кВт	3733	3787	4179	4698	
Температура конца сжатия $T_{\textit{наг}}$, К	291	302	310,5	319	

Использование искусственного охлаждения потока газа перед всасыванием даст экономию расхода топливного газа:

$$836 - 757 = 79$$
 кг/ч.

В стандартных условиях при:

 $ho_{\it cm} = 0{,}719$ кг/м³ объемный расход сэкономленного топливного газа составит:

$$79/0,719 = 109,875 \text{ m}^3/\text{ч}.$$



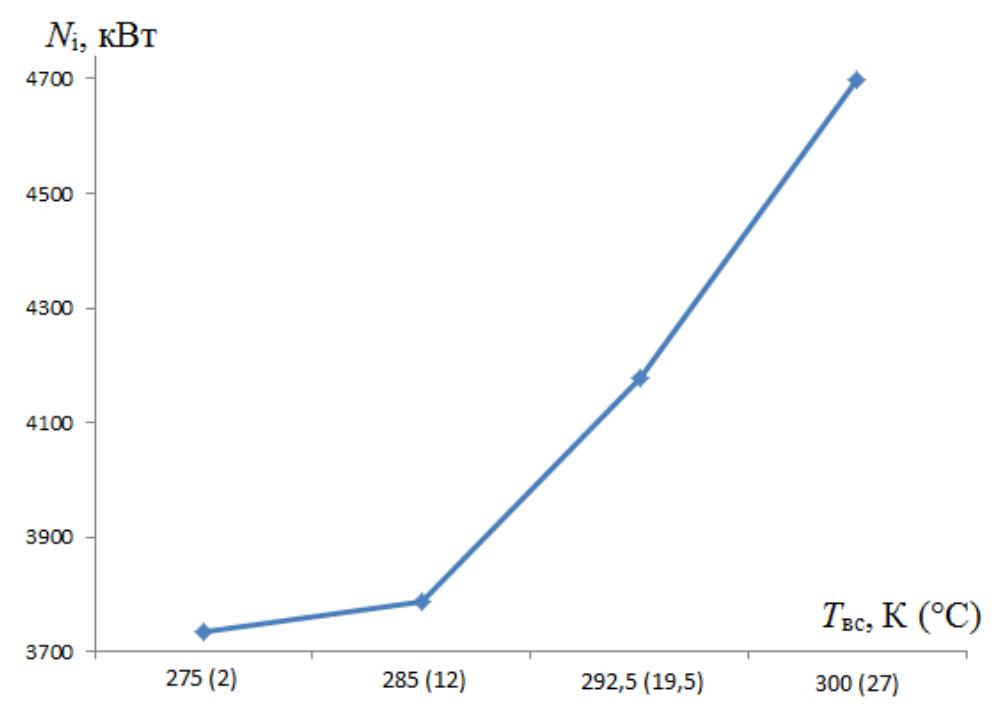


Рис. 4. Зависимость индикаторной мощности нагнетателя от численного значения температуры природного газа на всасывании

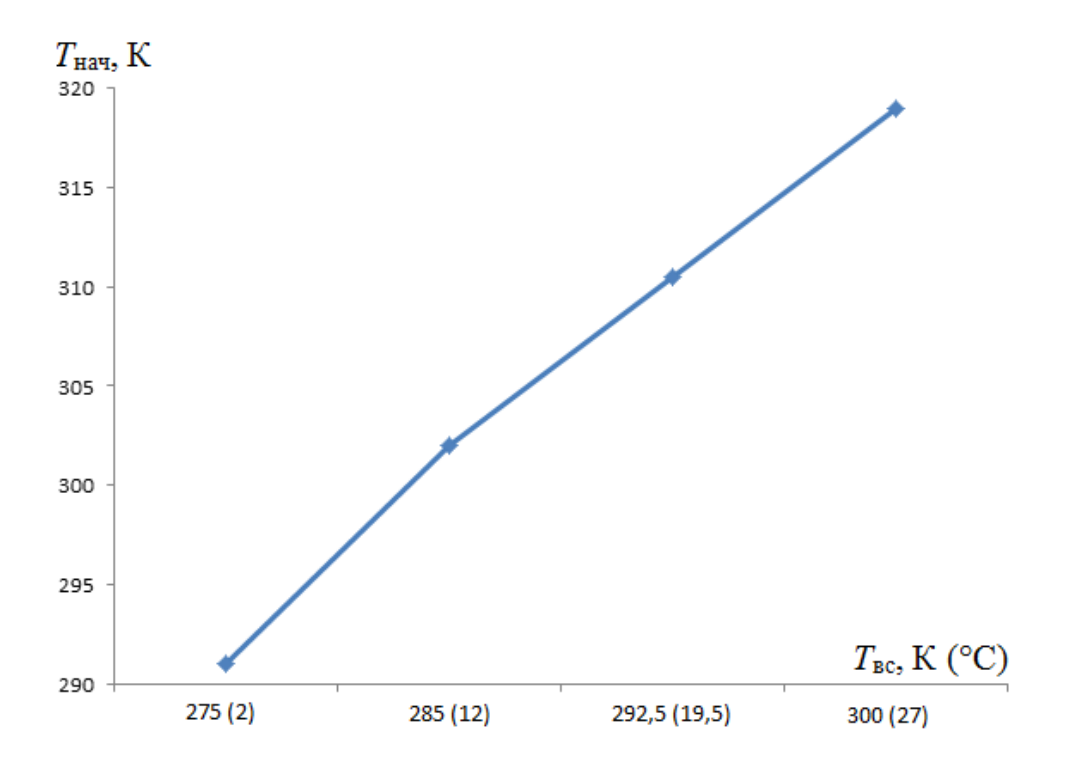


Рис. 5. Зависимость индикаторной мощности нагнетателя от численного значения температуры природного газа на всасывании

В стандартных условиях при:



 $\rho_{\it cm}$ = 0,719 кг/м³

объемный расход сэкономленного топливного газа составит:

 $79/0.719 = 109.875 \text{ m}^3/\text{ч}.$

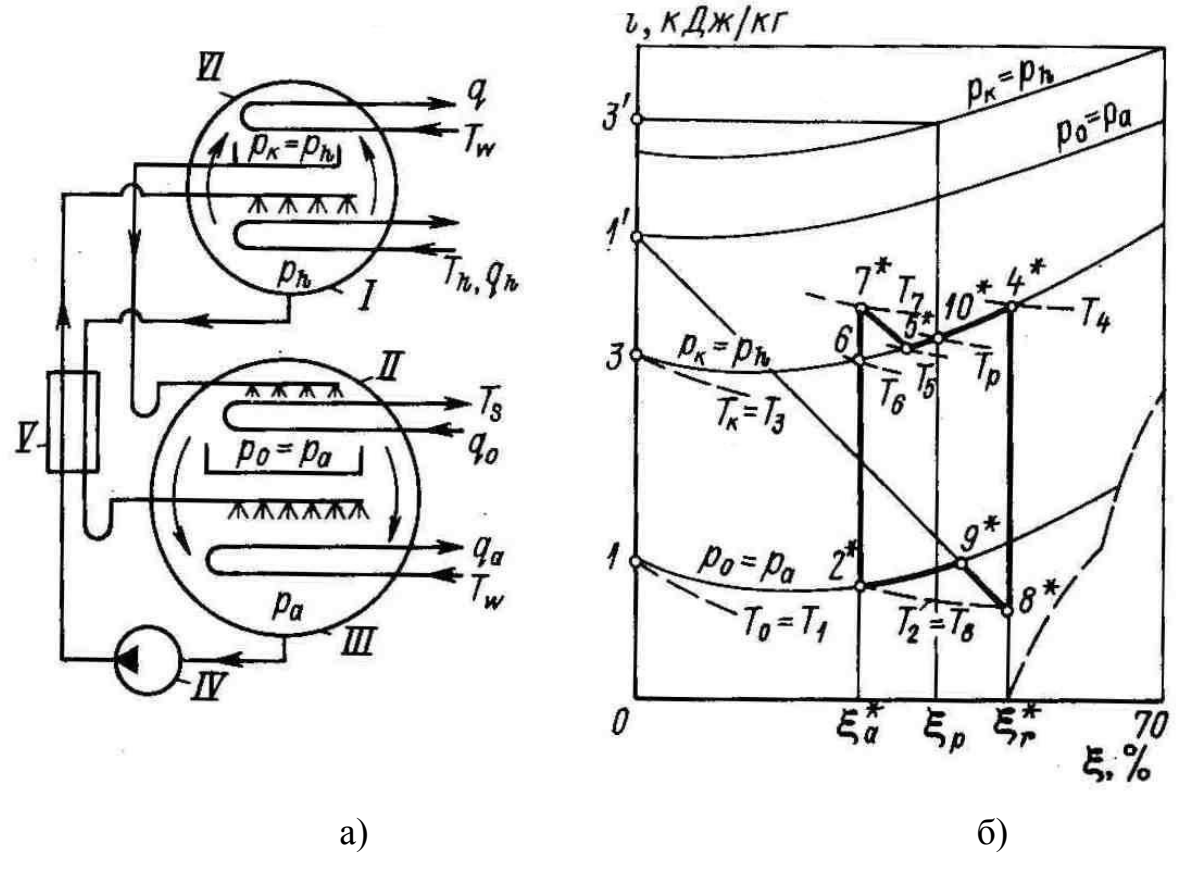
Расчет тепловых потоков бромистолитиевой абсорбционной холодильной машины (рис. 6) без учета основных необратимых потерь термодинамических процессов [5].

Исходные данные

Температура воды, К:

греющей T_h	373
охлаждающей T_w	299
охлажденной T_s	280

Принятые значения температур и давлений следующие. Высшая температура в конце процесса кипения раствора в генераторе $T_4 = T_h - \Delta T_h$.



а – схема машины; б – процессы в ξ –i диаграмме;

I — генератор; II — испаритель; III — абсорбер; IV — насос слабого раствора; V — теплообменник; VI — конденсатор

Рис. 6. Абсорбционная бромистолитиевая холодильная машина



Разность температур $\Delta T_h=10\div 20$ K, в зависимости от типа генератора, тогда $T_4=273-15=258$ K. Температура конденсации при условии параллельной подачи воды в абсорбер и конденсатор $T_{\scriptscriptstyle K}=T_{\scriptscriptstyle W}+\Delta T_{\scriptscriptstyle W}$.

Разность температур $\Delta T_w = 8 \div 10$ K, тогда $T_\kappa = 299 + 8 = 307$ K.

Давление конденсации пара в конденсаторе определяют по диаграмме концентрация — энтальпия (ξ –i) для водного раствора бромистого лития [17] в области жидкости при ξ = 0 и T_{κ} = 307 К: p_{κ} = 5,45 кПа.

При отсутствии гидравлических сопротивлений прохождению пара из генератора в конденсатор, давление кипения раствора в генераторе принимается равным давлению в конденсаторе, т.е. $p_h = p_\kappa = 5{,}45$ кПа.

Низшая температура раствора в конце процесса абсорбции пара в абсорбере

$$T_2 = T_w + \Delta T_a$$
.

Разность температур ΔT_a принимается в пределах 8-15 К.

Тогда
$$T_2 = 299 + 8 = 307 \,\mathrm{K}.$$

Температура кипения воды в испарителе $T_0 = T_s - \Delta T_s$.

Разность температур ΔT_s принимается в пределах 2...5 К.

Тогда
$$T_0 = 280 - 3 = 277$$
 К.

Давление кипения в испарителе определяют по таблицам теплофизических свойств воды и водяного пара или по ξ –i диаграмме (при ξ = 0 и T_0 = 277 K) [17]: p_0 = 0,83 кПа.

При отсутствии гидравлических сопротивлений прохождению пара из испарителя в абсорбер, давление в абсорбере принимается равным давлению в испарителе, т.е. $p_a = p_0 = 0.83$ кПа.

Температура крепкого раствора на выходе из теплообменника при отсутствии в нем недорекуперации теплоты $T_8 = T_2 = 307 \, \, \mathrm{K}.$

Параметры узловых точек циклов, изображенных на рис. 2.5 а приведены в табл. 2.

Кратность циркуляции раствора



$$f^* = \xi_r^* / (\xi_r^* - \xi_a^*) = 64/(64 - 57,3) = 9,552 \,\mathrm{kg/kg}.$$

Теплота теплообменника

$$q_m^* = (f^* - 1)(i_{4^*} - i_{8^*}) = (9,552 - 1)(353,8 - 262,9) = 777,38$$
 кДж/кг.

Энтальпия слабого раствора после теплообменника $i_{7*}=i_{2*}+q_m^*/f^*=251{,}22+777{,}38/9{,}552=332{,}6\ к\text{Дж/кг}.$

Таблица 2 Параметры узловых точек

Состояние вещества	T , K	р, кПа	ξ, %	і, кДж/кг
Жидкость				
Вода после конденсатора	$T_{\kappa} = T_3 = 307$	$p_{\kappa} = 5,45$	$\xi = 0$	$i_s = 561,1$
Раствор:				
крепкий после генератора	$T_4 = 358$	$p_{\rm h} = 5,45$	$\xi_{\rm r}^{\ *} = 64$	$i_{4*} = 353,8$
слабый после абсорбера	$T_2 = 307$	$p_a = 0.83$	$\xi_a^* = 57,3$	$i_{2*} = 251,22$
крепкий после	$T_8 = 307$	p _h = 5,45	$\xi_{\rm r}^* = 64$	$i_{8*} = 262,9$
теплообменника	$T_0=T_1=277$	$p_0 = 0.83$	$\xi = 0$	$i_1 = 435,5$
Вода в испарителе				
Пар	$T_1 = T_0 = 277$	$p_0 = 0.83$	$\xi = 0$	$i_{1'} = 2914,2$
После испарителя				

По значению $i_{7*}=332,6$ кДж/кг при $\xi_a^*=57,3$ % по ξ –i диаграмме определяют положение точки 7^* и температуру слабого раствора на выходе из теплообменника $T_7=349\,\mathrm{K}.$

В связи с тем, что слабый раствор на входе в генератор перегрет, в генераторе осуществляется сначала адиабатно-изобарный процесс десорбции (7^*-5^*) , в результате чего концентрация раствора увеличивается, а температура его снижается до равновесной T_5 . Температура T_5 выше равновесной T_6 при известных ξ_a^* , p_h : $T_5 = 345$ K, $T_6 = 343,5$ K.

Средняя температура раствора, кипящего в генераторе, $T_p = (T_4 + T_5)/2 = (358 + 345)/2 = 351,5 \ \mathrm{K}.$



Концентрация раствора, соответствующая температуре T_p (точка 10^*), $\xi_p = 60.8\,\%$.

Энтальпия перегретого пара на выходе из генератора определяется по ξ –i диаграмме при известных p_h и ξ_n : $i_{3'} = 3064 \, \mathrm{кДж/кг}$.

Теплота генератора

$$q_h=i_{3'}+(f^*-1)i_{4^*}-f^*i_{7^*}=3064+(9{,}552-1)353{,}8-9{,}552\cdot332{,}6=2912{,}7\,\mathrm{к}$$
 Дж/кг.

Теплота испарителя

$$q_0 = i_{1'} + i_3 = 2914,2 - 561,1 = 2353,1$$
 кДж/кг.

Теплота конденсатора $q = i_{3'} - i_3 = 3064 - 561,1 = 2502,9$ кДж/кг.

Теплота абсорбера

$$q_a=i_{1'}+(f^*-1)i_{8^*}-f^*i_{2^*}=2914,2+(9,552-1)262,9-9,552\cdot 251,22=2762,9$$
 кДж/кг.

Абсорбция состоит из двух процессов: адиабатно-изобарного $(8^* - 9^*)$ и изобарного $(9^* - 2^*)$.

Теплота подведенная

$$\sum q_{no\partial s} = q_h + q_0 = 2912,7 + 2353,1 = 5265,8$$
 кДж/кг.

Теплота отведенная

$$\sum q_{ome} = q + q_a = 2502,9 + 2762,9 = 5265,8$$
 кДж/кг.

Тепловой баланс
$$\sum q_{no\partial s} = \sum q_{oms} = 5265,8$$
 кДж/кг.

Тепловой коэффициент $\xi^* = q_0 / q_h = 2353,1/2912,7 = 0,808$.

Расчет АВХМ [5].

Исходные данные

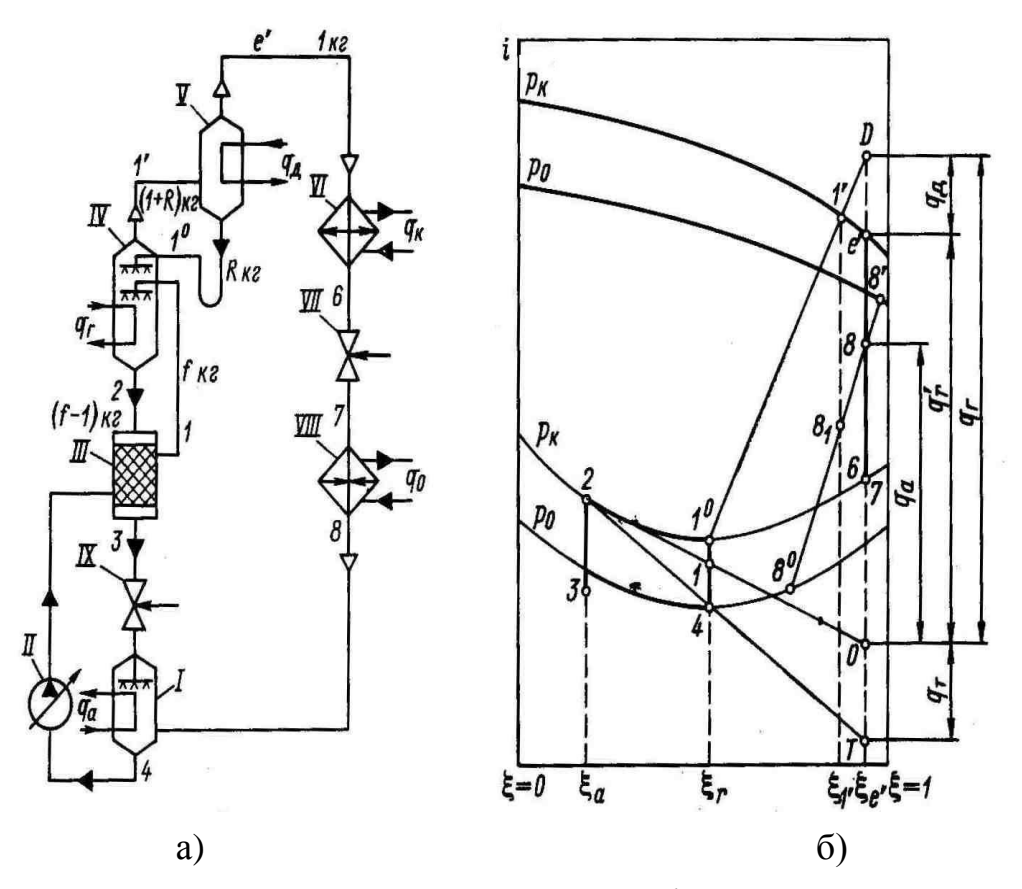
Давление греющего насыщенного водяного пара p_h , МПа......0,792

Температура, К:



Рассмотрим цикл и тепловые потоки абсорбционной водоаммиачной холодильной машины с теплообменником растворов, ректификатором и дефлегматором, охлаждаемый водой (рис. 7).

Параметры узловых точек цикла приведены в таблице 3.



a — схема машины; б — процессы в ξ —i диаграмме; I — абсорбер; II — насос крепкого раствора; III — теплообменник растворов;

IV – генератор с ректификатором; V – дефлегматор; VI – конденсатор; VII – дроссельный вентиль хладагента; VIII – испаритель; IX – дроссельный вентиль раствора

Рис. 7. Абсорбционная водоаммиачная холодильная машина с теплообменником, ректификатором и водяным дефлегматором

После ректификации пара в ректификационной колонне и дефлегматоре температура пара на выходе из дефлегматора принимается равной $T_{e'} = T_{\kappa} + \Delta T = 303, 3 + 9, 7 = 313 \, \mathrm{K}.$

Таблица 3

Параметры узловых точек

Состояние вещества	T, K	<i>р</i> , мПа	ξ, кг/кг	і, кДж/кг
Жидкость				
После генератора	$T_2 = 433$	$p_{\kappa} = 1,17684$	$\xi_a = 0,0904$	$i_2 = 614,23$
абсорбера	$T_4 = 303,3$	$p_0 = 0.176526$	$\xi_{\rm r} = 0.3676$	<i>i</i> ₄ = -111,46
конденсатора	$T_6 = 303,3$	$p_{\kappa} = 1,17684$	$\xi_{e'} = 0,9959$	$i_6 = 141,87$
В начале кипения				
(крепкий раствор)	T_1 ° = 367,3	$p_{\kappa} = 1,17684$	$\xi_{\rm r} = 0.3676$	<i>i</i> _{1°} = 181,49
После				
теплообменника				
(слабый раствор)	$T_2 = 308,3$	$p_{\kappa} = 1,17684$	$\xi_a = 0,0904$	$i_2 = 73,33$
Пар				
После генератора	$T_1 = 367,3$	p _x =1,17684	$\xi_{1'} = 0,9478$	$i_{1'} = 1529,16$
дефлегматора	$T_{e} = 313$	p _x =1,17684	$\xi_{e'} = 0,9959$	$i_{e'} = 1323,59$
Насыщенный при	T ₈ ≔ 255	p ₀ =0,176526	$\xi_{\tt H}=1$	$i_{\text{H}} = 1245,42$
высшей температуре				
кипения в испарителе				

Тогда концентрация пара:

$$\xi_{e'} = 0,9959$$
 кг/кг.

Последнюю определяют по таблицам термодинамических параметров равновесных фаз водоаммиачного раствора [18].

В связи с более высокой концентрацией раствора, поступающего в испаритель, давление кипения в испарителе принимается равным $p_0 = p_0^{'} - \Delta p_0 = 0.190314 - 0.013888 = 0.176526 \ \mathrm{M\Pi a}.$

Высшая температура кипения раствора в испарителе принимается равной $T_8 = T_0 + \Delta T = 253 + 2 = 255 \, \mathrm{K}.$

Кратность циркуляции раствора $f=(\xi_{e'}-\xi_a)/(\xi_r-\xi_a)=(0.9959-0.0904)/(0.3676-0.0904)=3.267~\text{кг/кг}.$



Масса флегмы, образующейся в дефлегматоре,

$$R = (\xi_{e'} - \xi_{1'})/(\xi_{1'} - \xi_r) = (0.9959 - 0.9478)/(0.9478 - 0.3676) = 0.0829$$

$$K\Gamma/K\Gamma.$$

Теплота дефлегматора

$$q_{\partial} = (1+R)i_{1'} - i_{e'} - Ri_{1\circ} = (1+0.0829)1529,16 - 1323,59 - 0.0829 \cdot 191,49 = 316,47$$
 кДж/кг.

Теплота теплообменника

$$q_m = (f-1)(i_2-i_3) = (3,267-1)(614,23-73,33) = 1226,22$$
 кДж/кг.

Состояние крепкого раствора после теплообменника: $i_1=i_4+(q_m/f)=-111,46+(1226,22/3,267)=263,88\ к\text{Дж/кг}.$

По графику $T = \varphi(i)$ при $\xi_r = 0.3676$ кг/кг и $p_\kappa = 1,17684$ МПа находят температуру крепкого раствора после теплообменника $T_1 = 371,6$ К.

Теплота генератора:

$$\begin{split} q_{\scriptscriptstyle \mathcal{C}} &= i_{e'} - i_2 + f(i_2 - i_1) + q_{\scriptscriptstyle \partial} = \\ &= 1323,\!59 - 614,\!23 + 3,\!267(614,\!23 - 263,\!88) + 316,\!47 = 2170,\!42 \\ \text{кДж/кг}. \end{split}$$

Теплота конденсатора $q_{\kappa}=i_{e'}-i_6=1323,59-141,87=1181,72$ кДж/кг.

Теплота испарителя $q_0 = i_8 - i_6 = 1177,65 - 141,87 = 1035,78$ кДж/кг,

$$i_8 = i_{\kappa} - \left[(i_{\kappa} - i_s) / (\xi_{\kappa} - \xi_s) \right] \cdot (\xi_{\kappa} - \xi_{e'}) =$$

$$= 1245,42 - \left[(1245,42 + 159,59) / (1 - 0,915) \right] (1 - 0,9959) = 1177,65$$

кДж/кг.

Теплота абсорбера

$$q_a = i_8 - i_3 + f(i_3 - i_4) = 1177,65 - 73,33 + 3,267(73,33 + 111,46) = 1708,03$$
 кДж/кг.

Тепловой баланс:

теплота подведенная

$$\sum q_{no\partial s} = q_{\scriptscriptstyle \mathcal{E}} + q_0 = 2170,42 + 1035,78 = 3206,2$$
 кДж/кг;

теплота отведенная

$$\sum q_{ome} = q_{\kappa} + q_a + q_{\partial} = 1181,72 + 1708,03 + 316,47 = 3206,22$$
 кДж/кг.

Тепловой коэффициент:

$$\xi = q_0 / q_{\varepsilon} = 1035,78 / 2170,42 = 0,477$$
.

Проводим расчет теплообменника-охладителя (ТОО) газа перед сжатием.

Оценим располагаемую тепловую нагрузку на генератор АВХМ со



стороны потока выхлопных газов газотурбинного двигателя ДН-70.

$$Q_{\Gamma} = G_{\Gamma} C_{P\Gamma} (t' - t''), \qquad (3.2)$$

где G_{Γ} – расход продуктов сгорания, равный 36,8 кг/с;

 $C_{P\Gamma}$ — массовая теплоемкость продуктов сгорания, равная 1,15 кДж/кг [21];

t', t'' – температуры продуктов сгорания,

на входе (t' = 550 °C) и выходе, соответственно.

Примем температуру

$$t'' = 400 \, ^{\circ}\text{C}$$

что соответствует КПД процесса теплообмена между потоком продуктов сгорания и стенкой генератора 40 %.

Тогда:

$$Q_{\Gamma} = 36.8 \cdot 1.15 \cdot (550 - 400) = 6348 \text{ kBt}.$$

Выбираем под располагаемую тепловую нагрузку ABXM европейского производства PED;

- с холодопроизводительностью 2850 кВт,
- тепловой нагрузкой генератора 5100 кВт,
- температурой испарения 0 °C.

При заданном объемном расходе газа $181 \text{ м}^3/\text{мин}$ (массовый расход 144 кг/с) и выбранной ABXM имеет место возможность охладить входящий поток газа на $16 \, ^{\circ}\text{C}$, т.е. от $300 \, \text{K} \, (27 \, ^{\circ}\text{C})$ до $284 \, (11 \, ^{\circ}\text{C})$. Перепад температур на «холодном» конце TOO составит:

$$\Delta t = 11$$
 °C.

Примем аналогичный перепад и на «горячем» конце ТОО, т.е. рассол будет нагреваться до 289 К (26 $^{\circ}$ C).

Массовый расход рассола АВХМ составит 84 кг/с.

Выбираем элемент конструкции ТОО с коаксиальным расположением ребер со стороны газового потока (рис. 8).

Труба внутренняя имеет диаметр 200 м, наружная труба 600 мм.

Высота ребра 200 мм. При эффективности алюминиевого ребра

$$E = 0,85$$

толшина его составляет 10 мм.

Число ребер – 22 шт. Шаг ребра 20 мм.

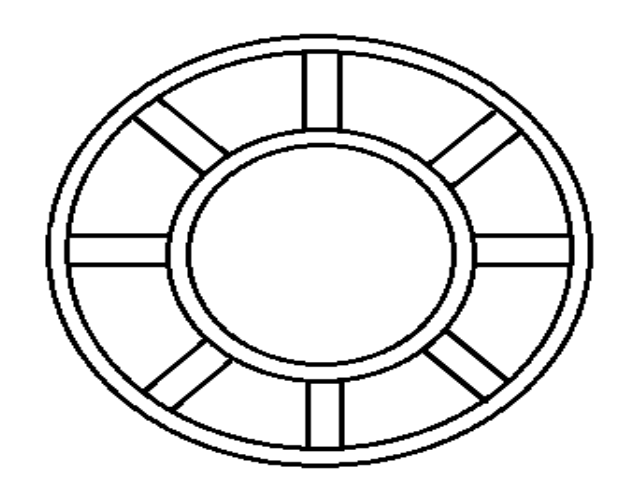


Рис. 8. Схема элемента ТОО.

Тогда площадь ребер на 1 м ТОО:

$$F_p = 1 \cdot (0.2 \cdot 2 + 0.01) \cdot 22 = 9.02 \text{ m}^2.$$

Площадь межреберного пространства ТОО:

$$F_c = 0.01 \cdot 1 \cdot 21 = 0.21 \text{ m}^2.$$

Суммарная площадь поверхности теплообмена со стороны газа:

$$F_{pc} = F_p + F_c = 9,02 + 0,21 = 9,43$$

Оценим коэффициент теплообмена газа:

$$\alpha_p = \alpha_c = 400 \text{ BT/(M}^2 \cdot \text{K)},$$

тогда приведенный коэффициент теплообмена:

$$\alpha_{np} = \alpha_p E \frac{F_p}{F_{pc}} + \alpha_c \frac{F_c}{F_{pc}}$$
(3.3)

$$\alpha_{np} = 400 \cdot 0.85 \frac{9.02}{9.43} + 400 \frac{0.21}{9.43} = 335 \text{ BT/(M}^2 \cdot \text{K)}.$$

Проводим расчет тепловой нагрузки 1 м по уравнению теплопередачи для ребристой поверхности:

$$Q = \frac{\Delta t}{\frac{1}{\lambda_1 F_1} + \frac{\delta}{\lambda F_1} + \frac{1}{\lambda_{np} F_{pc}}},$$
(3.5)

где λ_1 — коэффициент теплообмена со стороны рассола, принимаем равным 5000 Bt/(м 2 ·K);

$$\delta = 4$$
 mm; $\lambda = 200$ BT/(m·K);



$$F_1 = \pi \cdot 0.20 \cdot 1 = 6.28 \text{ m}^2.$$

Тогда:

$$Q = \frac{9}{\frac{1}{5000 \cdot 6,28} + \frac{0,004}{200 \cdot 6,28} + \frac{1}{335 \cdot 9,43}} = 27,2 \text{ kBT}$$

Длина ТОО составит:

$$l_{TOO} = \frac{2850}{27.2} \approx 105 \text{ m}.$$

Выводы.

- 1. В соответствии с разработанным алгоритмом был выполнен расчет нагнетателя:
 - H-300-1,23,
- для различных температур (275, 285, 292,5 и 300 К) природного газа перед компремированием.

Показано, что:

- а) начиная с 300...285 К имеет место линейное падение индикаторной мощности сжатия, а в диапазоне 275...285 К падение замедляется и переходит к асимптотическому;
- б) в исследуемом диапазоне температур газа перед компремированием (275...300 К) имеет место линейное повышение температур после сжатия, соответственно, от 290...320 К;
- в) использование искусственного охлаждения потока газа перед всасыванием даст экономию расхода топливного газа:

$$836 - 757 = 79$$
 кг/ч.

- 2. Выполнен термодинамический расчет циклов АБХМ и АВХМ. Показано, что несмотря на более высокий тепловой коэффициент у АБХМ (0,808), следует выбрать АВХМ с тепловым коэффициентом 0,477, так как только АВХМ может обеспечить приемлемый уровень температур охлаждения (258 К) природного газа перед компремированием, в отличии от АБХМ с температурой охлаждения 280 К. Выбрана АВХМ европейского производства РЕD с холодопроизводительностью 2850 кВт, тепловой нагрузкой генератора 5100 кВт, температурой испарения 0 °C.
- 3. Выполнен конструкторский (тепловой) расчет теплообменникамоходялен 253 ISBN 978-3-9821783-3-2



охладителя природного газа перед сжатием в нагнетателе. Проведен расчет для конструкции ТОО с коаксиальным расположением ребер со стороны газового потока. Материал ребер – алюминий. Расчетная длина трубы ТОО составила порядка 105 м.